

単粒粗骨材コンクリートの実験的研究

加賀美 一二三*・長谷川 博*

On the Experimental Study of Singly Grained Aggregate Concrete

Hifumi KAGAMI and Hiroshi HASEGAWA

Abstract

It is fairly difficult at times to guarantee standard grading of aggregate on executive field at present. So the authors report the outline of experimental studies with respect to compressive, tensile strength, Young's modulus and abrasion ratio for singly grained aggregate concrete as to supplemental materials for paved and general constructional concrete.

1. 緒 言

粗骨材の粒度については、コンクリート標示（3—4—13）に標準の粒度が示されているが、建設現場の地域性によっては標準粒度の骨材を確保することが困難な場合もあり、単粒粗骨材コンクリートを使用しなければならないことが多いので、単粒粗骨材コンクリートの実験的考察をすることにし、生コンクリートの性質ならびに力学的性質の2, 3について普通コンクリートと比較し、特性を検討したので、その概要を報告する。

2. 実験方法

2・1 使 用 材 料

セメントは普通ポルトランドセメント、比重=3.15
細骨材は北九州市若松沖産、粗骨材は山陽町産の碎石で、その粒径の範囲が5~10 (I), 10~15 (II), 15~25mm (III) の単粒粗骨材と5~25mm (IV) の一般連続粒度粗骨材を使用した。骨材の試験結果はTable 1のとおりである。

Table 1 Properties of aggregate

| Kinds of aggregate \ Each terms of experiment | Grading (mm) | Specific gravity | Absorption (%) | Unit weight (kg/m ³) | Fineness modulus | Percentage of solid volume (%) | Organic impurities |
|---|--------------------|------------------|----------------|----------------------------------|------------------|--------------------------------|--------------------|
| Coarse aggregate | Fine aggregate ~ 5 | 2.54 | 1.21 | 1556 | 2.61 | | good |
| | I 5~10 | 2.68 | 1.13 | 1542 | — | 58.1 | — |
| | II 10~15 | 2.69 | 1.04 | 1548 | — | 58.1 | — |
| | III 15~25 | 2.69 | 0.98 | 1590 | — | 59.7 | — |
| | IV 5~25 | 2.68 | 0.95 | 1627 | — | 61.3 | — |

2・2 混合骨材の最大密度および

コンクリートの配合

コンクリートの配合はTable 2に示した。この配合は、それぞれの粗骨材について細骨材率をかえて単位容積重量を測定し、最大密度となる点の細骨材率

(基準)を用い、セメント量は300kg/m³に一定とし単位水量は基準配合においてスランプ値が2±1cm程度となるように決定したものである。粗骨材の最大密度実験の結果はFig. 1のとおりである。

Table 2 Design of concrete proportion

| Kinds of coarse aggregate | Grading of coarse aggregate (mm) | Slump (cm) | W/C (%) | s/a (%) | Unit weight (kg/m³) | | | |
|---------------------------|----------------------------------|------------|---------|---------|---------------------|-----|-----|-------|
| | | | | | W | C | S | G |
| I | 5~10 | 1.1 | 64.8 | 52 | 194 | 300 | 912 | 898 |
| | | 1.2 | 〃 | 49 | 〃 | 〃 | 859 | 954 |
| | | 2.6 | 〃 | 44 | 〃 | 〃 | 772 | 1049 |
| | | 1.9 | 〃 | 39 | 〃 | 〃 | 684 | 1141 |
| | | (3.5 | 64.8 | 29 | 194 | 300 | 509 | 1328) |
| | | 0.8 | 58.6 | 29 | 176 | 〃 | 523 | 1364) |
| II | 10~15 | 2.5 | 62.6 | 52 | 188 | 300 | 921 | 907 |
| | | 3.6 | 〃 | 49 | 〃 | 〃 | 868 | 963 |
| | | 3.2 | 〃 | 46 | 〃 | 〃 | 814 | 1020 |
| | | 6.5 | 〃 | 37 | 〃 | 〃 | 655 | 1190 |
| | | (19.6 | 62.6 | 27 | 188 | 300 | 478 | 1378) |
| | | 1.2 | 51.3 | 27 | 154 | 〃 | 501 | 1446) |
| III | 15~25 | 0.3 | 56.2 | 48 | 169 | 300 | 873 | 1009 |
| | | 1.5 | 〃 | 45 | 〃 | 〃 | 819 | 1067 |
| | | 2.3 | 〃 | 40 | 〃 | 〃 | 728 | 1164 |
| | | 3.5 | 〃 | 32 | 〃 | 〃 | 582 | 1320 |
| | | (18.4 | 56.2 | 24 | 169 | 300 | 437 | 1475) |
| | | 0.5 | 38.9 | 24 | 117 | 〃 | 468 | 1582) |
| IV | 5~25 | 0.0 | 56.9 | 46 | 171 | 300 | 834 | 1045 |
| | | 0.6 | 〃 | 43 | 〃 | 〃 | 780 | 1103 |
| | | 1.4 | 〃 | 40 | 〃 | 〃 | 726 | 1161 |
| | | 3.5 | 〃 | 32 | 〃 | 〃 | 580 | 1316 |
| | | (14.5 | 56.9 | 24 | 171 | 300 | 435 | 1471) |
| | | 0.6 | 44.7 | 24 | 134 | 〃 | 458 | 1546) |

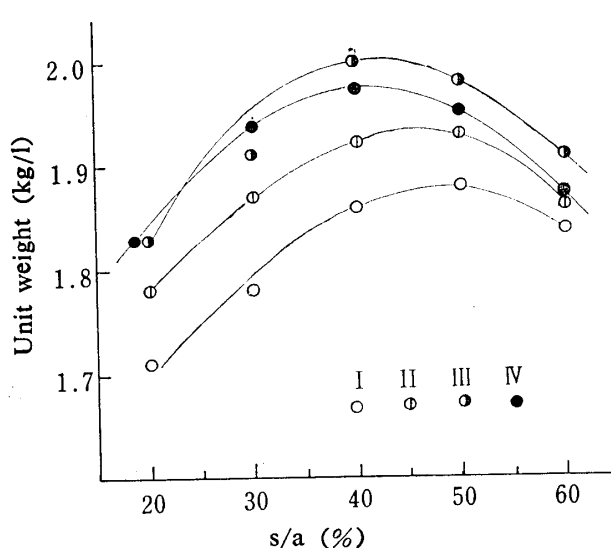


Fig. 1 Max. density of mixed aggregate

2・3 供試体の製作、養生、材令、試験

練りまぜ直後のコンクリートについてスランプ試験（ワーカビリティーの判定）と空気量試験を同時にない直ちに、圧縮強度、引張強度試験用供試体（ $\phi 10 \times 20\text{cm}$ ）およびすりへり試験用供試体（ $7 \times 7 \times 7\text{ cm}$ ）を製作した。成形後は養生室に移し翌日脱型して $20^\circ \pm 3^\circ\text{C}$ で水中養生を行なった。圧縮および引張試験は材令15日で、すりへり試験は28日間水中養生後14日間空中養生（湿度75%）を行ない、気乾状態で実施した。

すりへり減量値はロサンゼルス試験機に 7 cm 立方供試体6個と鋼球12個を入れ500回転した後の損失重量百分率で示した。

ヤング係数は、圧縮強度の $1/2$ 程度の応力段階における割線ヤング係数である。

3. 実験結果と考察

3・1 生コンクリートの性質

単粒粗骨材コンクリートの配合決定にあたっての粗

Table 3 Effect of grading on unit water and s/a

| Coarse aggregate | | I | II | III | IV |
|------------------------|--|---------------|---------------|---------------|---------------|
| Items | | | | | |
| s/a (%) | Suitable extent | 44~52 | 46~52 | 45~52 | 35~46 |
| | Suitable values on workability | 49 | 49 | 45 | 43 |
| | Correction values by reference table | 55 | 51 | 42 | 42 |
| | Max. density of mixed aggregate | 49 | 46 | 40 | 40 |
| W (kg/m ³) | Water quantity for slump 3 cm | s/a=49 199 | s/a=49 187 | s/a=45 173 | s/a=43 175 |
| | Water quantity of general coarse aggregate | | s/a=49 190 | s/a=45 176 | |
| | Decreasing water quantity | | | 3.0 | 3.0 |

この参考表より、一般コンクリートとの相異点をあげてみると、まず s/a については適當と思われる範囲がせまく、またその最適値はある程度大きくなる。つぎに、単粒粗骨材コンクリートは、ワーカビリティを害しやすいとはいえるが単位水量を減少できる利点があるので、最適 s/a 値を採用し、混和剤を用いて生コンクリートのワーカビリチーの改善をはかれば、一般構造用コンクリートとして

骨材最大寸法と s/a ならびに単位水量の参考表を示すと Table 3 のとおりである。

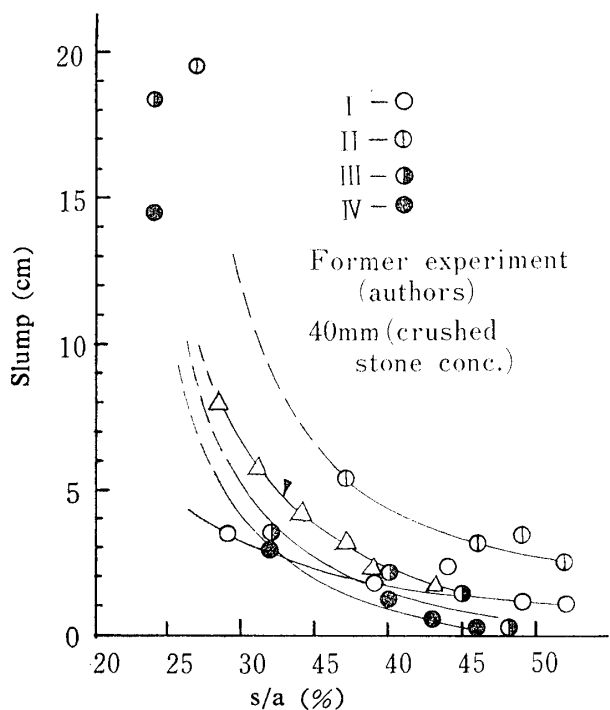


Fig. 2 Relation between slump and s/a

の実用性は十分に考えられる。

Fig. 2 はセメント量および w/c を粗骨材ごとに一定とした場合の s/a とスランプの関係である。

粗骨材 (I) は s/a の影響が小さいようであるが (II), (III) 骨材は (IV) 骨材ならびに既実験 ($C = 285 \text{ kg/m}^3$ 最大寸法 = 40 mm, 一般碎石) とほぼ一致する結果を得た。したがって、単粒粗骨材コンクリートの s/a とスランプの相対関係は、一般碎石の場合と同じと思われる。

3・2 圧縮強度

Fig. 3 は w/c および単位セメント量 (300kg/m³) を一定とした場合の s/a と圧縮強度の関係である。

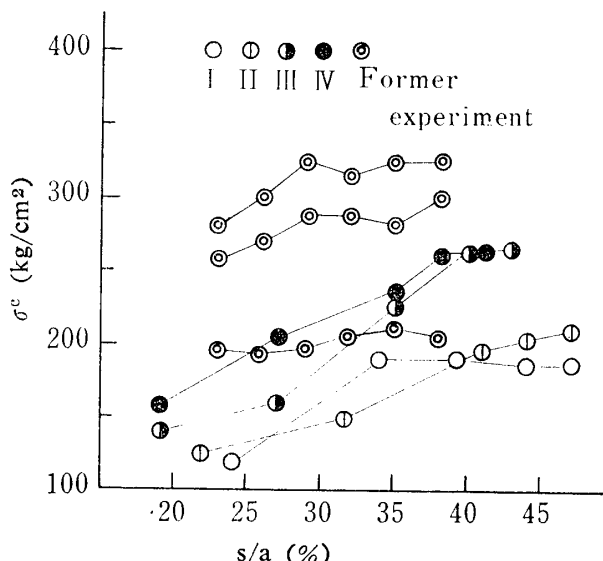


Fig. 3 Relation between s/a and compressive strength

一般コンクリートと比較して、単粒粗骨材コンクリートは、同程度の圧縮強度をうるための s/a 値が大きくなり、 s/a が限界値以下の領域では強度が低下する傾向があるので、Table 3 に示した最適 s/a 値を採用することが望ましい。コンクリート種別 (III) と (IV) で、圧縮強度が同程度の範囲のスランプ値は (III) が大きいので、両者のスランプ値を一定とみなせば、一般コンクリートよりも大きい強度がえられることになる。Fig. 3において最大寸法の大きい粗骨材が大なる強度を示しているが、これは Table 2 にみられるごとく水セメント比の相違によるものである。また、 s/a が限界領域以下になると圧縮強度が低下している

が、この領域ではモルタル量が少なくなり、供試体のせん断抵抗力が小さくなることによって生じたものと考えられる。

3・3 空隙率

供試体製作時の締固めの程度および強度に対する影響を判定するために、試験の前に供試体重量を測定し固体単位重量より空隙率を求めた。

Fig. 4 は空隙率と圧縮強度の関係であるが、ほとんど 2.5% 以下となり、 s/a (Table 4)、粒径、および単粒と一般コンクリートについての差はなく、Fig. 4 にみられるように強度に対する空隙率の影響も認められない。

Table 4 Void ratio of specimens

| Kinds of concrete | s/a (%) | | | | | | | | | | | | | |
|-------------------|---------|-----|-----|-----|-----|-----|-----|-----|-----|-----|----------------|----------------|----|----------------|
| | 52 | 49 | 48 | 46 | 45 | 44 | 43 | 40 | 39 | 37 | 32 | 29 | 27 | 24 |
| I | 2.7 | 1.1 | | | | 1.1 | | | 0.0 | | (2.0) (2.4) | | | |
| II | 2.0 | 1.6 | | 1.4 | | | | | | 1.1 | | (0.9) (3.1) | | |
| III | | | 1.6 | | 2.2 | | | 3.2 | | | 2.4 | | | (9.7) |
| IV | | | | 2.4 | | | 1.9 | 1.1 | | | 0.0 | | | (0.7) (4.4) |

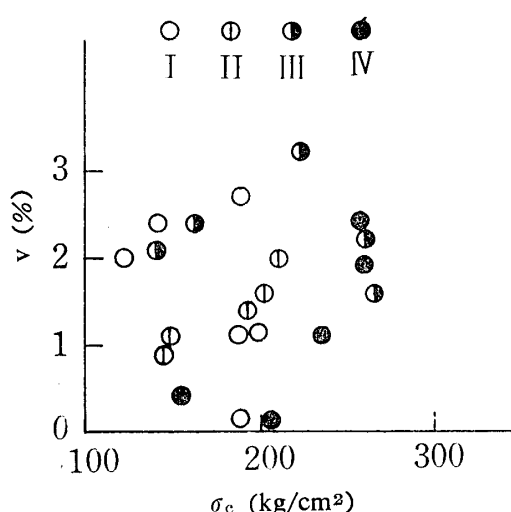


Fig. 4 Relation between compressive strength and void ratio

3・4 ヤング係数

材令15日のヤング係数と圧縮強度の関係は Fig. 5 に示すように単粒粗骨材コンクリートも一般コンクリートも同様の傾向である。

3・5 引張強度

本実験は各粗骨材ごとの基準配合において同一スランプをうるようとしたので、Fig. 6 の s/a と引張強度

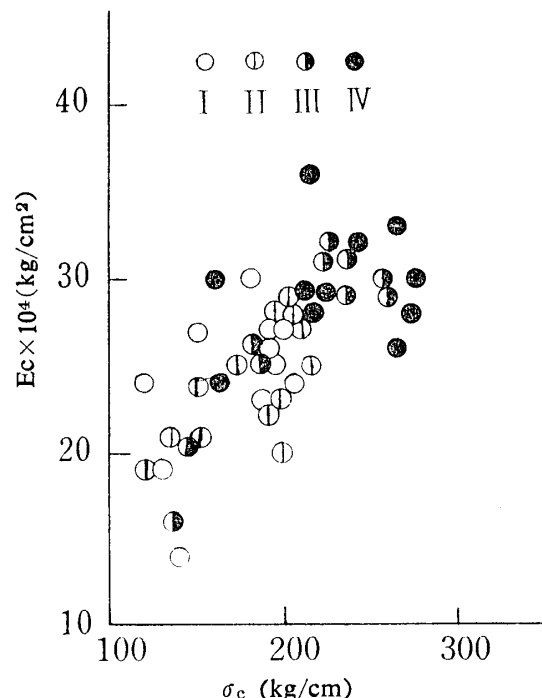


Fig. 5 Relation between compressive strength and Young's modulus

の関係のごとく、粗骨材 I II と III IV とはその傾向が異なることとなったものであり、圧縮強度の場合と同様

に単粒と一般コンクリートは、強度性状に差異はないものと考えられる。

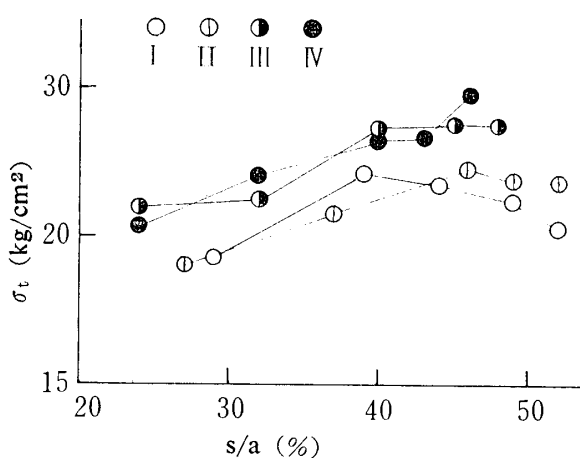


Fig. 6 Relation between s/a and tensile strength

3・6 すりへり減量

本実験方法による場合は、Fig. 7にみられるようにすりへり減量に対するs/aの影響は、おのののコンクリートにおいてほとんど認められない。I, IIとIII, IVコンクリートとは、すりへり減量値が異なっているが、供試体製作時のw/cの差異のためであり、IIIとIVを比較すれば単粒と一般コンクリートとは同程度とみなされる。

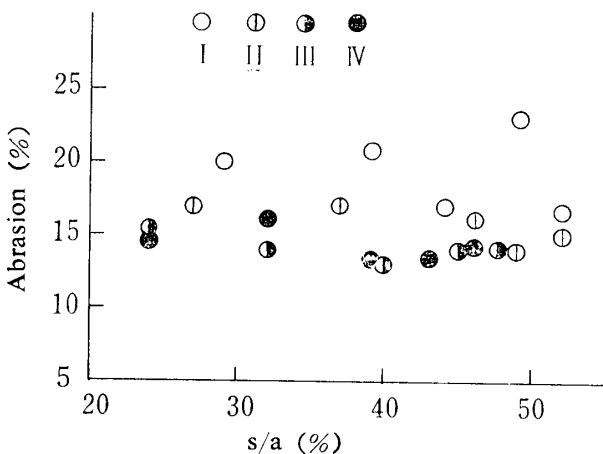


Fig. 7 Relation between s/a and abrasion

すりへり減量と圧縮強度ならびに引張強度の関係はFig. 8, 9のとおりである。単粒各種および一般コンクリートのすりへり試験後の供試体はPhoto. 1(一例)にみられるように、立方体隅角部が磨損した程度であったので、Fig. 8のごとく、こう石コンクリートの曲線に比してゆるやかな傾向となり、圧縮強度が250 kg/cm³程度以上になると、すりへり減量の影響が少なくなることが予測される。したがって、ロサン

ゼルス試験機により、すりへり試験を行なう場合には供試体の形状、寸法などを考慮する必要がある。

引張強度とすりへり減量の関係も、前述の圧縮強度の場合と同様である。

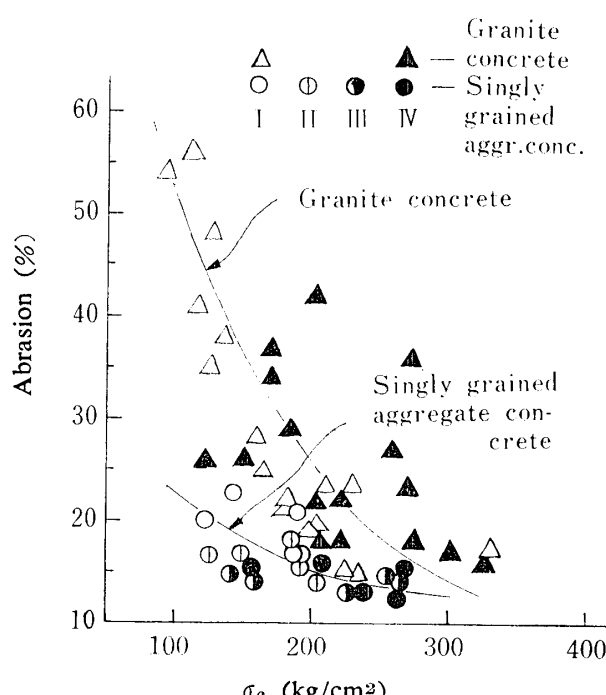


Fig. 8 Relation between compressive strength and abrasion

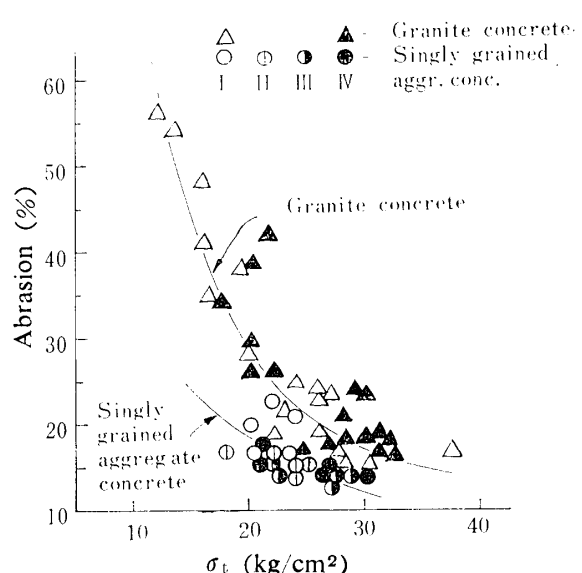


Fig. 9 Relation between tensile strength and abrasion

4. 結 言

実験結果を要約すると次のとおりである。

単粒粗骨材コンクリートの特質として、分離現象を



Photo. 1 Specimens of abrasion experimented

生るので、適当な s/a を採用すれば、単位水量を減少できる利点がある。

強度については、スランプ一定とした場合、一般コ

ンクリートより大きい強度をえることも可能である。

ヤング係数、すりへり減量についても一般コンクリートと同様である。

以上の結果より、単粒粗骨材コンクリートを有効適切に使用することが望まれる。

参考文献

- 1) 小野竹之助：コンクリート工学、森北出版 (1931), p. 284
- 2) 国分 正胤：土木実験、技報堂 (1968), p. 183
- 3) 河野 清、水口裕之：セメント技術年報 (XXV)
- 4) 加賀美、二木、長谷川：山口大学工学部研究報告, 17, 2 (1966)
- 5) 加賀美、長谷川、兼行：山口大学工学部研究報告 23, 1 (1972)

(昭和48年9月17日受理)